

Buckminsterfullerenes とその周辺

—C₆₀, C₇₀炭素クラスター分子の生成とその物性—



技術解説

岡田東一*
小沢国夫**

1. はじめに

炭素は原子番号6、周期律IV族に属し、有機物の根幹としてのユニークな地位を占める主要元素である。化学的に4個の結合手を持つため、多様な機能を持つ分子を作る可能性を持っている。—C=C—結合を分子環とするポリエチレンの1次元性化合物に始まり、6員環を平面的にタイリングしたsp²結合による2次元層状物質、そして超硬性や高熱伝導性の物性を示すsp³結合の3次元構造を形成するダイヤモンド迄、その構造の多様性は興味深い。

炭素の固体状態の記述として、上述のグラファイト及びダイヤモンドの2つの結晶型がその同素体として分類されている。人類は、そのsp²からsp³結合への相転移による人工ダイヤモンド合成を目指し、高温・高圧法やCVD法を用いて多くの研究を展開して来た。一方今世紀半ばに始まった宇宙開発は、星間物質の収集とその分析に伴う、カーボンクラスター分子の研究を推進させ、有機物誕生の謎に対するプロジェクトに多くの天体科学者の熱いまなざしを集中させた。今日Huston, Rice Univ.のSmalley教授をリーダーとする所謂カーボン・フラーレン化合物の研究の爆発的な展開には、C₆₀やC₇₀クラスターの示す、独特の3次元構造（フットボール及びラグビーボール構造）の美しい対称性が先ずは多くの分野の研究者を魅了したのであろう。

1985年秋のNature誌¹⁾は、「C₆₀: Buck-

*岡田 東一 (Toichi OKADA), 大阪大学産業学科研究所放射線科学研究部, 教授, 工学博士, 核融合工学, 放射線物性

**小沢 国夫 (Kunio OZAWA), 株式会社・日立製作所・エネルギー研究所, 技術主幹, 理学博士

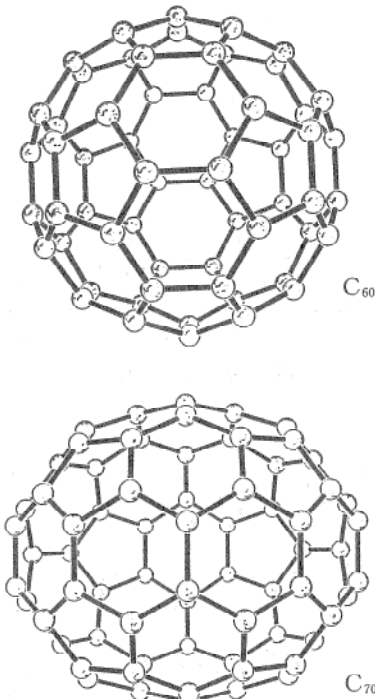


図1 C₆₀及びC₇₀の分子構造。

minsterfullerene”なるタイトルの論文を発表した。彼等は回転グラファイトターゲットのレーザ蒸発法のC蒸気とHeガスの原子衝突過程で生成する炭素クラスタービーム中に、C原子数に関しマジック数60及び70にピークを示すマス・スペクトルを見出して、C₆₀の質量数720クラスターに対し、Cの6員環20個と5員環12個から形成される所謂Truncated-Icosahedron（隅切20面体）のフットボール・モデルを提案し、sp²結合によるπ共役系の閉じたcage型クラスター分子である事をイメージした。このアイデアは、1967年カナダのモントリオール世界博のUSパビリオン設計者であるBuckminster Fullerの87m球型ドーム構造にインスピレートされたもので、IUPACへのその物質登録は、今日Buckminsterfullereneとされており、ニックネームとして一般に

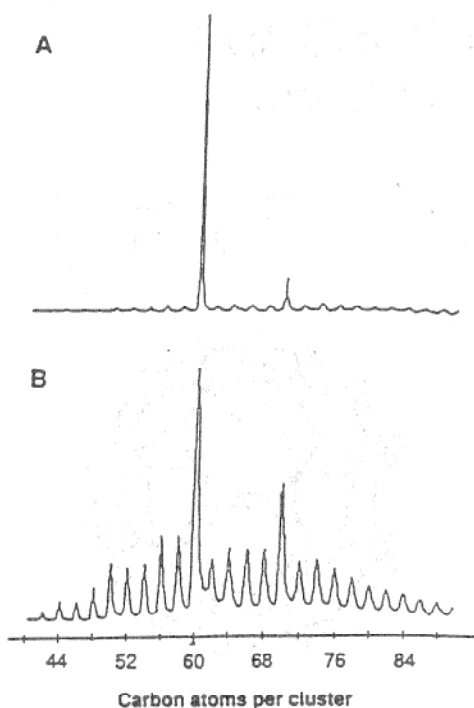


図2 カーボンクラスターのTOF質量スペクトル。偶数原子数及び60, 70原子数相当(720及び840)の質量数の増大が見られる。

Bucky ball, Soccerene, 更にC₅₀, C₇₀, C₈₄などのファミリーなFullerenesとされ、特定偶数マジック原子数を持つ事が判明している。併しこれ等ケージ分子のモデルは、TOF型質量分析器による質量同定のみで、その形状や物性測定が可能なサンプル量の合成法のR&Dが待望されていた。その間分子動力学法による計算機シミュレーションの適用は、C₆₀分子の、分子軌道準位や、HOMO(最高占有軌道)-LUMO(最低空軌道)ギャップの推定を可能にし、若しI_hの対称性を持つC₆₀クラスター分子の多量合成法が可能になれば、化学のみならず、多くの物性科学への革命的応用が可能になる事が指摘された。

2. C₆₀第2楽章の開始

昨年(1990年)秋、NatureにKrätschmen, Huffmanらによる²⁾、C₆₀及びC₇₀の物性測定可能なグラム単位量の合成、分離法とX線、光学測定の物理測定結果が発表された。グラファイト棒のアーク放電を1/10気圧下のHeガス中で行い、蒸発したカーボン・ペーパーとHeとの原子衝突過程を通して生成したC-ペンタ

ゴンとC-ヘキサゴンのクラスタリングによりC₆₀, C₇₀クラスター分子を生成させベンゼン抽出と液体クロマトグラフィ法により、抽出、分離する比較的単純な方法で、このブレーク・スルーを成し遂げている。C₆₀は紫色C₇₀はオレンジ色の溶液として得られ、各々の可視紫外部の吸収帯や分子振動に基づく赤外領域4本の吸収帯を同定し、また板状の固体として析出したhcp状の結晶生成にも成功した。

2.1 ¹³C-NMR測定³⁾

炭素は1.17%の¹³Cのアイソトープ(核モーメント、I=1/2)を含有するため、C₆₀やC₇₀クラスター分子1個中の含有¹³C量は統計的に1個となり点群I_hの対称性を持つC₆₀は¹³C NMRスペクトルで1本の線を、またC₇₀は強度比が2:1の各々2本と3本計5本の共鳴線が同定出来、点群D_{5h}の対称性を持つラクビーポール

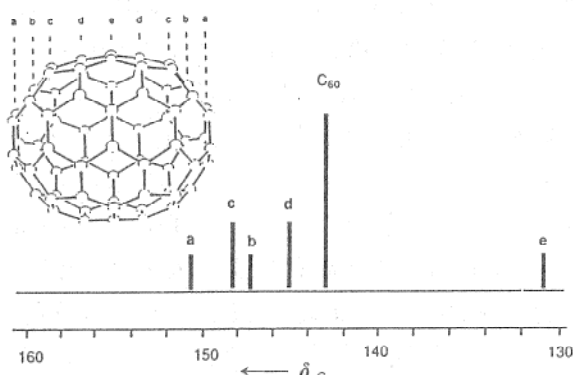


図3 C₆₀及びC₇₀ Fullerene混合系の¹³C-NMRスペクトル。C₇₀のラクビ型モデルに適合するa, b, e及びc, dの5本の共鳴線が見られる。

状のケージ分子である事を明らかにした。

2.2 電気化学測定⁴⁾

図4はCH₂Cl₂溶液中のC₇₀に対するサイクリック・ボルタノメトリ法で測定した還元電位

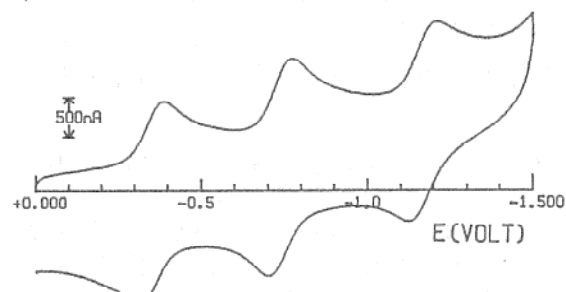


図4 C₇₀ Fullereneの2次電池としての利用可能性を示す。可逆電圧-電流曲線。走査速度: 1,000mV/Sは注目に値する。

領域における電流波型グラフである。

-1.5 Volt [スキャン・レート=1,000mV/s] 近に明確な3波の波型が可逆的に出現していることが判り、 C_{70} 分子が中性から $C_{70}^- \rightarrow C_{70}^2 \rightarrow C_{70}^{3-}$ の電子捕獲準位 (LUMOの t_{1u}) に電気化学的に可逆的変化が可能であり、また C_{70} , C_{60} 共に高い電子親和性とイオン化ポテンシャルを持つ事を明にした。この物性は将来自動車バッテリ等2次電池としての利用開発が可能なことを示唆している。

2.3 結晶性と3-D電気伝導性⁵⁾

Krateschmerらは溶液法からの生成した六方晶結晶として $a=10.02\text{ \AA}$, $C=16.36\text{ \AA}$ の最密充填型hcpファンデア・ワールズ結合による結晶板の生成に成功した。一方HaddenをリーダとするBell研のHebardらは、 10^{-6} torr 下で気相法により C_{60} の高品質、fcc結晶の $\sim 1,000\text{ \AA}$ 厚さのファンデア・ワールズ結合薄膜 ($a=14.1\text{ \AA}$) を作成し、伝導度 10^{-5} S/cm 以下の値とin situ RamanスペクトルとしてAg全対称モードの $1,467\text{ cm}^{-1}$ を得た。更にアルカリ金属 (Li, Na, K, Rb, Cs) のインターラーション (fcc結晶のOcta及びTetraの各格子間

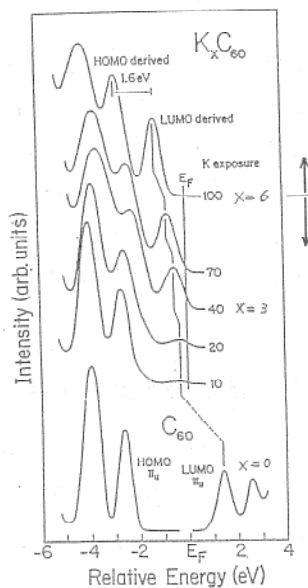


図5 fcc構造 C_{60} フィルムへのKイオンのインターラーションに伴う K_xC_{60} 超伝導体の光電子及び逆光電子分光スペクトル。Kのドーピングに伴い、LUMOのピークがシフトしてフェルミ準位 E_F を横切り、 $x=3$ で最大のDOSを示し超伝導出現の結果と良い対応を示す。オーバードーピング $x=6$ は絶縁相となり、結晶型もbcc又はbctへ相転移する。

原子位置にドープ)を行い、ドープ量に応じてフォノンのソフト化が起り、 $K_xC_{60}^*$ の測定では、 $1,467\text{ (C}_{60}\text{)} \rightarrow 1,445\text{ (K}_3\text{ C}_{60}\text{)} \rightarrow 1,430\text{ cm}^{-1}$ ($K_6\text{ C}_{60}$) と低振動数へのシフトを示し且つ3:1原子比で $\sigma=500\text{ S/cm}$ の最高の3-D伝導性、更にオーバードーピング6:1でフィルムは絶縁相、且つ結晶構造はBCC又はBctに構造相転移を行う事が光電子及び逆光電子分光の研究で最近明らかになった⁶⁾。[図5参照]

2.4 超伝導性⁷⁾

HebardらBell研の超伝導グループは、上述のAlkali-Fulleride K_3C_{60} フィルムの低温下のマイクロ波損失、電気抵抗及びマイスナー効果の測定により、 $T_c=18\text{ K}$ の超伝導体であることを明にし、Kが電子のドナーとしてイオン化し、 $K_3^{+3}C_{60}^{-3}$ のn型高温超伝導体として分類可能なことが判明して来た。(4月18日) Sandiaグループは直に K_3C_{60} の T_c ～圧力効果の研究を行い、 $dT_c/dp=-0.63\text{ K/kb}$ の値を得た。これは、インターラーションするAlkali金属のイオン半径を増大させる事で T_c 上昇の可能性を暗示し(図5)直にRb, Csのドーピング実験がUCLA及びNEC基礎研で行れ Rb_3C_{60} で $T_c=30\text{ K}$ (5月24日)、 Cs_2RbC_{60} の $T_c=$

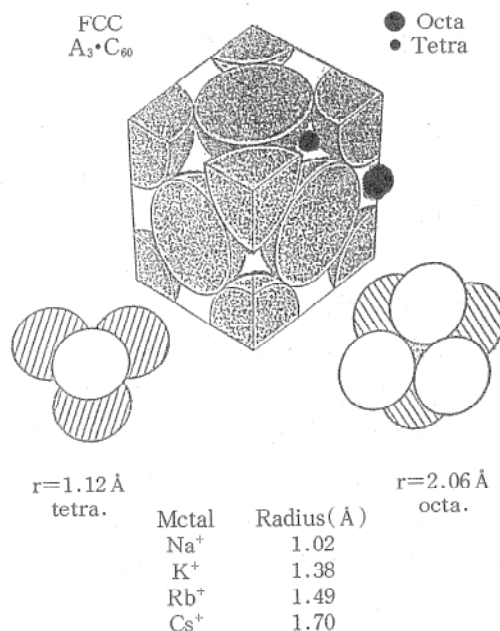


図6 fcc構造 AxC_{60} (Alkali Fulleride) のAイオンのインターラーションする格子間位置とイオン半径値。

* K_xC_{60} を K_xBf と元素記号的に記す例もある。

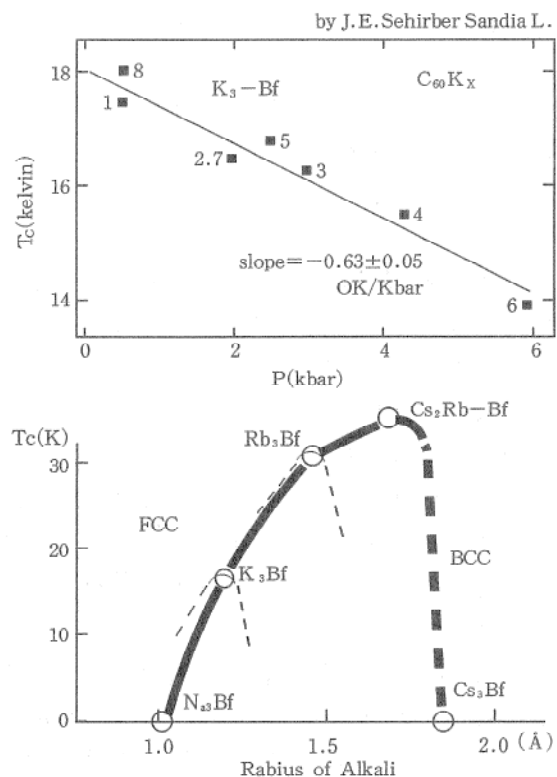


図 7 a) K_3-C_{60} ($T_c=18K$) 超伝導体の T_c に対する負の圧力効果
b) A_x-C_{60} の A (アルカリ金属) イオン半径と超伝導転移温度 T_c の相関。イオン半径最大の Cs ドープで Cs_3C_{60} では bcc 構造を示し、絶縁相に転移する。又 fcc 構造でもオーバ・ドーピングによる A_6C_{60} 相は bcc 相となり同様絶縁相となる。

33K (7月18日) と期待通りの結果を得ている⁸⁾。(図6)

超伝導体の今後の進歩を展望する事は極めて難しいが、「次元性と超伝導性の相関」を図7に示す。Bi系高温酸化物超伝導体は CuO_2 面を正孔キャリヤー面として $T_c=125K$, KC_8 はグラファイトの展開に K をインタカレショソした $T_c=0.5K$ で2次元性超伝導体として分類されているが、一方 Mo_6S_8 のクラスタと A (Pb , Sn) 金属で Chevrel 化合物を形成する物質系は現在 $T_c=15K$ 迄上昇しており、今回の Rb_3C_{60} 系カーボンクラスタ化合物と同様クラスタを構成要素とする3次元性超伝導体のファミリーとして考察出来、沈素ドープ・ポリエチレンや $A_2Mo_3X_3$ の1次元伝導物質の非超伝導性と共に、次元性との相関は今後のR&Dのキー・コンセプトになるであろう。 AxC_{60} 系の超伝導物質は C_{60} の HOMO-LUMO ギャップ $\sim 1.8eV$

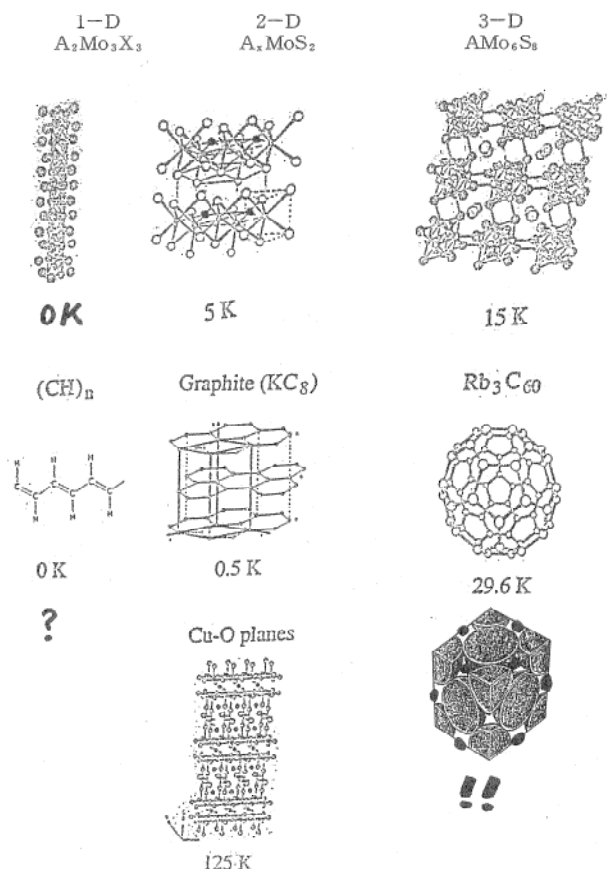


図 8 超伝導体ファミリーの次元性と超伝導性の相関図。クラスタ分子を要素とする3次元超伝導体の出現は注目に値する。

で各々の分子軌道キャラクターが h_u (5重縮重) 及び t_{1u} , t_{1g} (3重縮重) を持ち、電荷移動型物質として $h_u \rightarrow t_{1g}$ 準位間への3電子遷移により、フェルミ準位 E_F に対しハーフ・フィルドの最大 DOS を示すと考えられており、 K_3C_{60} または Rb_3C_{60} の化学量論組成比との対応が見られる。

3.まとめとあとがき

今年3月APS(米物理学会)でLangmir金賞を受賞したSmalley教授の講演タイトルは “ C_{60} , chapter 2” で、既にカーボン科学のブレーク・スルーは幕を切って落されており、現在第2, 第3楽章の壮大なシンフォニーが進行している事を告げた。併も第2楽章迄り出の短期間に於てすら、150編に及ぶ論文、preprintが報告されている。今後のR&Dが期待される研究として、直径 $\sim 7\text{ \AA}$ の C_{60} , C_{70} のケージ内部へ、 K^+ , U^+ のイオンや CO , LiF などの

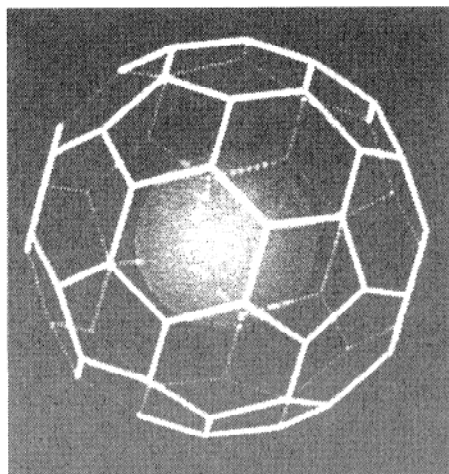


図9 C_{60} 分子内部に閉じ込められた K^+ イオンのコンピューター画像。 K^+ のイオン半径1.38Å, C_{60} ケージの直径は7.2Åである。

2原子分子を閉じ込めたEndohedral型クラスターの合成法と、それらを組込んだ結晶薄膜や電気伝導性の研究が進行中である。更にHoustonグループからの私信に依れば、Fullerenes C_{60} , C_{70} のC原子をB, N原子で置換した $C_{59}B$, $C_{58}B_2$, $C_{57}B_3$ や $C_{59}N$, $C_{56}N_2$, $C_{57}N_3$ などhetero-fullerenesの合成が質量分析的には成功しており、正孔及び電子ドープを制御法p及びn型炭素半導体の分野が開拓される明日が期待されている。

夜空にまたたく星は宇宙の、大自然の神秘について私達にささやきかけてくれる。その光は時に赤橙黄緑青藍紫に対応する波長にわたり、その強度はかすかにまたたくものから大白(金星)のように明るいものや眼には見えない電磁波やX線を送っている星もある。そしてこれらの信号は何億年前の宇宙の姿について物語っている。宇宙空間には太古に存在した多くの生きたサンプルが浮遊している。

宇宙空間に漂う物質を分析してみようという人類的好奇心は人工衛星や人間を実際に宇宙空間に打ち上げることを可能にした時からますます具体的に満たされることになった。そのような中で大自然が垣間見せてくれた炭素反応分子の神秘が今後新材料開発においてどのように解明されその応用が展開していくのか興味つきなものがある。

参考文献

- 1) H. W. Kroto, J. R. Heath, S. C. Brien, R. F. Curl and R. E. Smalley: Nature, 318 (1985) 162.
- 2) W. Krätschmer, L. D. Lamb, K. Fostiropoulos and D. R. Huffman: Nature, 342 (1990) 354.
- 3) R. Taylor, J. P. Hare, A. K. Abudul-Sada and H. W. Kroto: J. Chem. Soc., Chem. Commun., 20 (1990) 1423.
- 4) P. M. Allemand, A. Koch, F. Wudl, Y. Rubin, F. Diederich, M. M. Alvarez, S. J. Anz and R. L. Whetten: J. Am. Chem. Soc., 113 (1991) 1050.
- 5) R. C. Haddon, A. F. Hebard, M. J. Rosseinsky, D. W. Murphy, S. J. Duclos, K. B. Lyons, B. Mileer, J. M. Rosamilla, R. M. Fleming, et al: Nature, 350 (1991) 320.
- 6) P. J. Benning, J. L. Martins, J. H. Weaver, L. P. F. Chibante and R. E. Snalky: Science, 252 (1991) 1417.
- 7) A. F. Hebard, M. J. Rosseinsky, R. C. Haddon, D. W. Murphy, S. H. Glarum, T. T. M. Palstra, A. P. Ramirez and A. R. Kortan: Nature, 350 (1991) 600.
- 8) K. Holczer, O. Klein, S-M. Huang, R. B. Kaner, K-J. Fu, R. L. Whetten and F. Diederich: Science, 252 (1991) 1154.; K. Tanigaki, T. W. Ebbesen, S. Saito, J. Mizuki, J. S. Tsai, Y. Kubo and S. Kuroshima: Nature, 352 (1991) 222.